

В.Н. Журавлев, С.А. Борзов, А.В. Попчёнков, В.С. Кабак
**ЧАСТОТНАЯ МОДЕЛЬ КОЭФФИЦИЕНТА
ТУРБУЛЕНТНОСТИ ПЛАМЕНИ КАМЕРЫ СГОРАНИЯ ГТД**

Анотація. Запропонована і експериментально досліджена частотна модель сигналу турбулентного горіння, яка визначає енергію турбулентного потоку в камері згорання. Модель чутлива до параметра потужності сигналу пульсацій турбулентної швидкості на інтервалі часу активності полум'я в об'ємі жарової труби і параметрів вібраційного горіння в діапазоні вірогідних частот.

Многочисленные теоретические и экспериментальные исследования [1 – 3] доказывают, что наиболее эффективным, с точки зрения энергетической эффективности сгорания топлива и токсичности продуктов сгорания, является режим турбулентного горения. Косвенными параметрами, характеризующими эффективность режима, являются температура пламени и количество эмиссии окислов азота NO_x , причём, при уменьшении этих параметров пламёна имеют предрасположенность к режиму вибрационного горения [4]. Предложены феноменологические параметры турбулентности потока рабочего тела камер сгорания. Однако технологическая трудоёмкость их определения в составе двигателя и адаптация к конструктивным особенностям узла камеры сгорания не позволяют осуществлять оперативный прогноз эффективности управления режимом горения в режиме реального времени.

Научно-техническая задача разработки и исследования математических моделей, чувствительных к параметру энергетического качества режима турбулентного горения, с учётом границ перехода в вибрационный режим, актуальна как с теоретической точки зрения, так и с прикладной, в части разработки опережающего научно-технического задела создания перспективных ГТД.

1 Основная часть. Теоретические исследования. Первый вклад в изучение интенсивности турбулентных пламён был сделан известным немецким химиком Дамкёлером [2]. Он предположил, что тур-

булентное пламя имеет ту же структуру, что и ламинарное и связал наблюдаемое увеличение скорости горения с вызываемым турбулентностью искривлением фронта пламени, что увеличивает площадь поверхности горения по сравнению с гладким ламинарным фронтом и, следовательно, способность «перерабатывать» свежую смесь. Автор предложил характеризовать скорость распространения турбулентного пламени при крупномасштабной турбулентности следующим выражением $S_T = S_L + u'$, [м/с], где S_T – скорость распространения турбулентного потока, S_L – распространения ламинарного потока, u' – среднеквадратическое значение пульсаций скорости. Параметр турбулентности (1) имеет размерность скорости и не позволяет пояснить масштаб, т.е. часть энергии турбулентности в суммарной энергии потока рабочего тела, в связи с этим он не нашел применения в процессах технологической доводки двигателей.

В дальнейшем появился ряд теорий, исследующих концепцию искривленного фронта пламени и отличающихся от теории Дамкёлера (и одна от другой) главным образом способом увязывания характеристик турбулентности с результирующим увеличением поверхности пламени. Так, в подходе, развитом Щёлкиным [5], выражение для параметра скорости U_T турбулентного определяется выражением:

$$U_T = U_N \cdot \sqrt{1 + \frac{u' \cdot l}{\chi}}, \text{ [м/с]}, \text{ где } u' \text{ – средняя скорость турбулентных пульсаций [м/с]}, l \text{ – масштаб турбулентности [м]}, \chi \text{ – температуропроводность [м}^2/\text{с}].$$

Анализ показывает, что данный подход имеет недостатки, свойственные предыдущему, однако учитывает линейный масштаб турбулентности l , который должен соответствовать размеру жаровой трубы и коэффициент температуропроводности χ , который, по мнению автора, отражает скорость перемещения энергии. Отличия от предыдущих подходов существенно повышают энергетическую информативность параметра (2), однако он не поясняет границы перехода к вибрационному процессу горения.

Наибольшее применение в научных и технических исследованиях нашел безразмерный параметр Кармана [6], который определяется отношением среднего квадратичного пульсационных составляющих компонент скорости потока рабочего тела u' к осреднённой на определённом интервале времени T скорости его течения \bar{U} :

$$Ka(t) = \frac{u'(t)}{\bar{U}(t)}, \quad (1)$$

$$T \in [t]$$

Анализ параметра (1) показывает его информативность в части масштаба скоростей, однако он не отражает параметр линейного масштаба энергии турбулентности l и не несёт информации о признаках вибрационного горения. Следует отметить, что не все исследования достаточно хорошо согласуются между собой из-за сложности их проведения, различия методик измерений и точности измерительных приборов [5].

Как видно из анализа (1 – 3), пульсационная составляющая турбулентной скорости горения $u'(t)$ неизменно участвует во всех выражениях для определения параметра турбулентности, но существующие подходы не позволяет адекватно отвечать на возникающие вопросы о качестве процесса горения. Проведя анализ традиционных одноразмерных параметров турбулентности пламён можно сделать вывод, что все они слабо чувствительны к двум очень важным, по нашему мнению, параметрам: энергетической эффективности турбулентности и границе начала вибрационного горения.

В процессе решения поставленной задачи предложена и апробирована математическая модель j -ого параметра турбулентности $K_{t\omega_j}$, которая определяется выражением:

$$K_{t\omega_j} = 10 \lg \left[\frac{\frac{1}{k} \sum_{i=1}^k S_i(\omega_i, t)}{S_0(\omega, t)} \right], [dB] \\ S_i(\omega_i, t) \geq a \{ \max[S(\omega, t)] \}, \quad (2)$$

$$S(\omega, t) = \int_0^T R_{xx}[u'(t)] e^{-j\omega t} dt,$$

$$\omega \in [\Delta\Omega], t \in [T]$$

где: $\max[S(\omega, t)]$ – максимальное значение спектральной плотности мощности $S(\omega, t)$ сигнала $u'(t)$ в полосе частот $\Delta\Omega$ при $t = T$; $S_0(\omega, t) = 1W / Hz$ – константа пороговой спектральной плотности мощности сигнала $u'(t)$; $R_{xx}[u'(t)]$ – автокорреляционная функция сигнала

$u'(t)$; $a = 0.1$ – коэффициент чувствительности модели (динамический диапазон 20dB); T – интервал времени анализа; $k = \frac{\Delta\Omega}{\Delta\omega}$ – количество интервалов частот $\Delta\omega = 1\text{Hz}$ в частотном диапазоне $\Delta\Omega$.

Предложенный параметр (2) чувствителен к спектральной плотности мощности (энергии) сигнала пульсаций турбулентной скорости $u'(t)$ на интервале времени T и параметрам вибрационного горения в полосе частот $\Delta\Omega$. Параметр является аналогом понятия объема канала, который традиционно [7] применяется в теории информации.

2 Результаты экспериментальных исследований. Результаты получены в процессе выполнения научно-исследовательских работ на испытательных стендах ГП «Ивченко-Прогресс» и АО «Мотор Сич», Украина г. Запорожье. В настоящее время на ГП «Ивченко-Прогресс» разрабатывается и проходит практическую апробацию методика обнаружения процесса вибрационного горения в камере сгорания ГТД с помощью пьезоэлектрического акселерометра [8], который устанавливается возле рабочей форсунки камеры сгорания.

Был проведён расчет спектральной плотности мощности (СПМ) сигнала $u'(t)$ датчика вибраций в широкой полосе частот (100 – 1500) Гц (рис. 1).

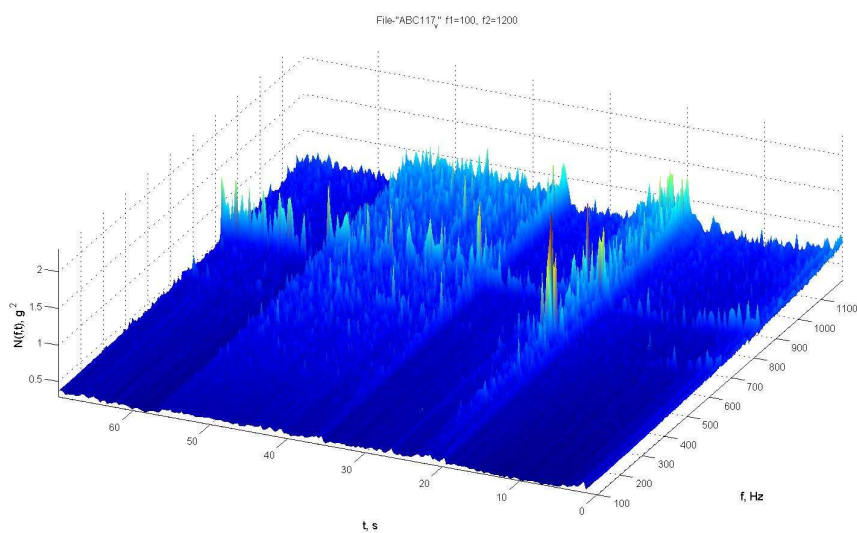


Рисунок 1 - Функция СПМ сигнала датчика вибраций

Анализ функции СПМ показывает наличие «следов» роторных вибраций вала свободной турбины $f = 640\text{Hz}$ и вала турбокомпрессора

$f \approx 830\text{Hz}$. Исключив эти диапазоны частот, были рассчитаны (рис. 2) функции параметра Кармана (1) и спектрального параметра турбулентности (2).

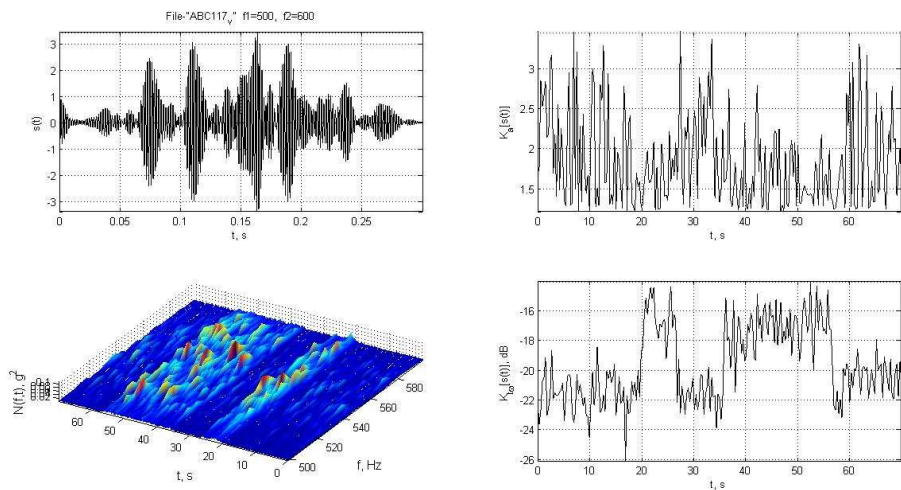


Рисунок 2 - Графики функций в частотном диапазоне
 $f = (500 - 600)\text{Hz}$

На рисунке приведены: левый верхний – анализируемый сигнал $s'(t)$, после полосовой фильтрации фильтром Баттерворта второго порядка и обработки Гауссовым окном для устранения эффекта Гиббса; левый нижний – СПМ $S(\omega, t)$ анализируемого сигнала; правый верхний – функция параметра Кармана $K_a(t)$; правый нижний – функция спектрального параметра турбулентности $K_{t\omega}(t)$.

3 Анализ результатов. Выводы. Анализ результатов экспериментальных исследований позволяет сделать следующие выводы:

- функция спектрального параметра турбулентности в анализируемом частотном диапазоне показывает, что она имеет иной характер огибающей (с учетом изменения режима двигателя на (15 - 20)с.) по сравнению с частотными диапазонами, не содержащими признаков вибрационного горения;
- параметр Кармана (1) слабо чувствителен к параметру пульсаций турбулентного горения, который отчетливо наблюдается на функциях СПМ;
- предложенный спектральный параметр турбулентности (4) адекватно отображает турбулентные процессы на интервалах времени (20 – 25) с. и (40 – 55) с.

Для «тонкой» доводки узла камеры сгорания ГТД необходимо более полное определение выделенной энергии при однозначной взаимосвязи с частотным диапазоном турбулентных процессов и режимом работы двигателя. Исследованный спектральный параметр сигнала турбулентного горения однозначно определяет вышеизначенное взаимодействие.

ЛИТЕРАТУРА

1. Раушенбах Б.В. Вибрационное горение [Текст] / Б.В. Раушенбах – М.: Гос. изд-во физ. мат. лит., 1961. – 500 с.
2. Лефевр А. Процессы в камерах ГТД. [Текст] / Пер с англ. М.: Мир, 1986. – 566 с.
3. Пчелкин Ю.М. Камеры сгорания газотурбинных двигателей [Текст] / Ю.М. Пчелкин М.: Машиностроение, 1984. – 280 с.
4. Open-loop active control of combustion dynamics on gas turbine engine. Geo. A. Richards, Jimmy D. Thornton, Edward H. Robey, Leonell Arellano. [Текст] / Journal of engineering for gas turbines and power. Vol. 129 January 2007.
5. Щелкин К. И. - Быстрое горение и спиновая детонация газов. [Текст]/ Под. ред. Академика Н.Н. Семенова. – М.: Военное изда-тельство министерства вооруженных сил Союза ССР. 1949. – 196 с.
6. Carl W. Hall Laws and Models: Science, Engineering and Technology. [Электронный ресурс]
<http://books.google.ru/books?id=EEhpsf6L09gC&lpg=PA241&dq=kaman%20number&pg=PA241#v=onepage&q=karman%20number&f=false> /CRC Press, Boca Raton, 2000, 524 р.
7. Кузьмин И.В. Основы теории информации и кодирования [Текст] / И.В. Кузьмин, В.А. Кедрус. – К.: Вища школа, 1986. – 238 с.
8. Кравченко И.Ф., Журавлев В.Н., Борзов С.А. Исследование влияния параметров пульсаций давления в камере сгорания на устойчивость работы ГТД. [Текст] / Авиационно-космическая техника и технология №8 (105) стр. 136-141